

アドリアマイシンの心毒性について —負荷心プールスキャンと MIBG による検討。第 2 報—

井内 和幸,* 奥村 廣和,*
吉田 喬,* 石川 忠夫,*

清川 裕明,* 中村 智之*

秀毛 範至,** 中嶋 憲一**

[目的]

Adriamycin (ADR) による心毒性を早期に発見する方法は確立していない。実験的に meta-iodobenzyl guanidine (MIBG) が ADR 心毒性を評価する方法として有効との報告があり、今回、同一プロトコールで治療した悪性リンパ腫患者で負荷心プールスキャンと ^{123}I -MIBG により前向きな検討をした。

[方法]

9名の患者で ADR を含む多剤併用療法で1～2クールと9クール終了時にエルゴメータによる25W毎の多段階漸増法の運動負荷と ^{123}I -MIBG を施行した。エルゴメータは心拍数120～130/分を目標とし、心筋障害の有無は安静時の左室駆出率 (EF) が1～2クールの早期に比べ10%以上低下した場合、又は運動負荷にて早期に認められたEFの5%以上の増加がなくなった場合とした。 ^{123}I -MIBG は安静時に111MBqを静注し、初期像と3時間後の遅延像を撮像し、心臓部と上縦隔部集積比(H/M)とwashout rate (WR)を求めた。又 SPECT 像より各領域の集積の程度を視覚的に判定した。 ^{201}Tl 心筋シンチは ^{123}I -MIBG とは別の日に安静時に行い SPECT 像より各領域の集積を評価した。

[結果]

表1の如く9例中3例で安静時のEFの低下、3例で運動負荷でのEFの反応の低下を認めたが、心不全の症状を示した患者はいなかった。このADRの心毒性があると思われた6例中5例に ^{123}I -MIBG を施行したが、治療の進行と共にSPECT像での新たな集積低下などは示さなかつた。H/M比は投与前後で変化はなく、WRは異常値を示すのが多かったが、これも投与量とは関係がなく、WRでは早期の段階で、すでに高値を示す症例も見られた(表2)。この点をADR投与後からMIBG撮像までの時間でみると図1の如く10日前と後では $28.8 \pm 5.8\%$ と $16.3 \pm 2.6\%$ と有意差を認めた。

[考察]

ADRによる心筋障害は総投与量に依存して出

現し、それが dose-limiting factor であるため治療上大きな問題になっている。その心毒性を早期に予測する方法はまだ確立されておらず、心内膜生検、心電図、心機図、ドップラー心エコーそして心プールスキャンなどの報告がみられ、その中で最も特異的なのは心内膜生検だが観血的であり、頻回に行わなければならない点で全ての患者に適した方法ではない。今日推奨されている方法は心プールスキャンで今回示した基準がそれであるが、insensitive であるとの報告もあり決定的な方法がない。 ^{123}I -MIBG による ADR 心毒性について、Wakasugi^{1,2)}らにより左室駆出率の低下に先行して心筋内の ^{123}I -MIBG 含有量が低下してくると報告されている。この点を臨床に応用すると H/M 比の低下になるが、H/M 比はあくまで相対的であり uptake そのものでない点が問題であろう。いずれにしても今回 H/M 比では異常を見い出せなかった。WR の異常については左室駆出率が50%以下の例で高値を示したとの報告³⁾があるが、ADR 心毒性の早期発見とは別の問題で、心機能低下により WR は亢進してくるものと思える。WR の亢進が心筋の交感神経末端からのノルエピネフリンの洗い出しの亢進を示しているとすると今回の ADR 投与後から10日以内の WR の異常は ADR の慢性毒性というより急性毒性で心筋障害に対して交感神経の亢進で補っていると考えられる。今後も ADR 心毒性の MIBG の臨床的な評価は更に検討しなければならないが、現在のところ sensitive な評価法とは思われなかった。

[文献]

- 1) Wakasugi S et al. J Nucl Med 1992; 33: 208
- 2) Wakasugi S et al. J Nucl Med 1993; 34: 1282
- 3) Valdes Olmos RA et al. Clin Nucl Med 1992; 17: 163

*富山県立中央病院 内科

**金沢大学 核医学科

負荷心プールスキャンの成績						
患者番号	ejection fraction (%)					
	早期 安静時	中期 負荷後	中期 安静時	終了時 負荷後	終了時 安静時	終了時 負荷後
1	68 73 20252	58 62 20800	81 86 22720	59 42 66	80 47 52	20040 20540 22240
2	52 57 26000	57 74 21320	86 82 56	42 55 55	47 54 54	23200 22270 24816
3	55 55 25600	59 71 19824	66 58 54	61 55 55	53 67 67	24816 26000 23500
4	57 56 23124	51 63 23580	82 86 54	49 42 42	53 45 45	19950 23200 23200
5	63 63 19824	71 77 18080	58 54 64	55 72 72	67 68 68	26000 23500 23500
6	61 61 18080	50 77 20706	82 84 84	49 72 72	53 68 68	19950 23500 23500
7	56 56 23124	57 71 19824	63 58 54	42 55 55	45 67 67	23200 26000 23500
8	63 63 19824	71 77 18080	58 54 64	55 72 72	67 68 68	26000 23500 23500
9	72 72 18080	77 84 20706	54 64 84	72 72 72	68 68 68	23500 23500 23500

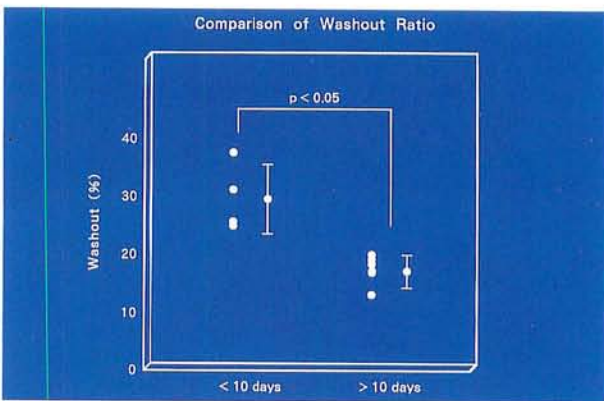
下段：負荷強度 (mmHg. beat/min)

▲表1

MIBG における H/M 比、Washout rate				
患者番号	H/M (E)	H/M (D)	Washout (%)	
2	E M P	2.44 2.05 2.27	2.42 2.31 2.22	36.3 30.3 12.7
	M	2.07	2.37	17.8
	P	2.19	2.38	24.7
3	E	2.04	2.21	23.8
	P	2.14	2.07	19.2
4	P	2.11	2.39	18.5
	E	2.20	2.62	12.6
	M	2.49	2.75	16.7
5	P	2.24	2.57	16.4
	E	2.05	2.45	17.6
	P	2.50	2.79	-0.5
7	E	2.08	2.51	2.4
	P	2.03	2.37	12.0
8	E	2.05	2.45	17.6
	P	2.50	2.79	-0.5
	E	2.08	2.51	2.4
9	P	2.03	2.37	12.0

E: 早期, M: 中期, P: 終了
H/M(E): 早期像での H/M 比
H/M(D): 遅延像での H/M 比

▲表2



▲図1